

```

GET
  FILE='C:\Users\Iris\Desktop\Resubmission_EJPA\ESM_PreviewBenefit_DATA.sav
'.
DATASET NAME DataSet1 WINDOW=FRONT.
* Encoding: UTF-8.

***Descriptives for the conditions of the modified d2 (RT + Error Rates)

DESCRIPTIVES VARIABLES=sb1_RT snb1_RT tb1_RT tnb1_RT rb1_RT rnb1_RT sb1_Err
Perc snb1_ErrPerc
      tb1_ErrPerc tnb1_ErrPerc rb1_ErrPerc rnb1_ErrPerc
  /STATISTICS=MEAN STDDEV MIN MAX.

```

## Deskriptive Statistik

### Anmerkungen

Ausgabe erstellt		02-MAR-2019 10:14:11
Kommentare		
Eingabe	Daten	C: \Users\Iris\Desktop\Resub mission_EJPA\ESM_Previ ewBenefit_DATA.sav
	Aktiver Datensatz	DataSet1
	Filter	<keine>
	Gewichtung	<keine>
	Aufgeteilte Datei	<keine>
	Anzahl der Zeilen in der Arbeitsdatei	100
Behandlung fehlender Werte	Definition von fehlenden Werten	Benutzerdefinierte fehlende Werte werden als Fehlend behandelt.
	Verwendete Fälle	Alle nicht fehlenden Daten werden verwendet.
Syntax	DESCRIPTIVES VARIABLES=sb1_RT snb1_RT tb1_RT tnb1_RT rb1_RT rnb1_RT sb1_ErrPerc snb1_ErrPerc tb1_ErrPerc tnb1_ErrPerc rb1_ErrPerc rnb1_ErrPerc /STATISTICS=MEAN STDDEV MIN MAX.	
Ressourcen	Prozessorzeit	00:00:00,05
	Verstrichene Zeit	00:00:00,02

[DataSet1] C:\Users\Iris\Desktop\Resubmission\_EJPA\ESM\_PreviewBenefit\_DATA.  
sav

### Deskriptive Statistik

	N	Minimum	Maximum	Mittelwert	Std.- Abweichung
sb1_RT	97	437,08	980,86	633,9879	95,54450
snb1_RT	97	511,38	983,57	702,1933	96,31482
tb1_RT	97	466,46	920,68	622,5581	85,03464
tnb1_RT	97	523,64	950,95	705,2804	93,99152
rb1_RT	97	123,32	722,59	352,2632	122,97153
rnb1_RT	94	381,30	901,88	655,1786	117,47460
sb1_ErrPerc	97	,00	21,25	4,5619	3,39002
snb1_ErrPerc	97	,00	12,50	4,1624	3,07630
tb1_ErrPerc	97	,00	15,00	4,7938	3,26599
tnb1_ErrPerc	97	,00	13,75	3,5309	3,10939
rb1_ErrPerc	97	,00	13,75	2,6289	2,47701
rnb1_ErrPerc	94	,00	15,00	4,8404	3,69918
Gültige Werte (Listenweise)	94				

\*\*\* Repeated-measuresANOVA (stimulus arrangement + pace) for RT in the modified d2.

```
GLM sb1_RT snb1_RT tb1_RT tnb1_RT rb1_RT rnb1_RT
  /WSFACTOR=Arrangement 3 Polynomial Pace 2 Polynomial
  /METHOD=SSTYPE(3)
  /PLOT=PROFILE(Arrangement*Pace) TYPE=LINE ERRORBAR=NO MEANREFERENCE=NO YAXIS=AUTO
  /EMMEANS=TABLES(OVERALL)
  /EMMEANS=TABLES(Arrangement) COMPARE ADJ(BONFERRONI)
  /EMMEANS=TABLES(Pace) COMPARE ADJ(BONFERRONI)
  /EMMEANS=TABLES(Arrangement*Pace)
  /PRINT=DESCRIPTIVE ETASQ OPOWER
  /CRITERIA=ALPHA(.05)
  /WSDSIGN=Arrangement Pace Arrangement*Pace.
```

## Allgemeines Lineares Modell

## Anmerkungen

Ausgabe erstellt		02-MAR-2019 10:14:12
Kommentare		
Eingabe	Daten	C: \Users\Iris\Desktop\Resubmission_EJPA\ESM_PreviewBenefit_DATA.sav
	Aktiver Datensatz	DataSet1
	Filter	<keine>
	Gewichtung	<keine>
	Aufgeteilte Datei	<keine>
	Anzahl der Zeilen in der Arbeitsdatei	100
Behandlung fehlender Werte	Definition für "fehlend"	Benutzerdefinierte fehlende Werte werden als fehlend behandelt.
	Verwendete Fälle	Die Statistik basiert auf allen Fällen mit gültigen Daten für alle Variablen im Modell.
Syntax	<pre>GLM sb1_RT snb1_RT tb1_RT tnb1_RT rb1_RT rnb1_RT  /WSFACTOR=Arrangement 3 Polynomial Pace 2 Polynomial /METHOD=SSTYPE(3) /PLOT=PROFILE (Arrangement*Pace) TYPE=LINE ERRORBAR=NO MEANREFERENCE=NO YAXIS=AUTO /EMMEANS=TABLES (OVERALL) /EMMEANS=TABLES (Arrangement) COMPARE ADJ(BONFERRONI) /EMMEANS=TABLES (Pace) COMPARE ADJ (BONFERRONI) /EMMEANS=TABLES (Arrangement*Pace) /PRINT=DESCRIPTIVE ETASQ OPOWER /CRITERIA=ALPHA(.05)  /WSDESIGN=Arrangement Pace Arrangement*Pace.</pre>	
Ressourcen	Prozessorzeit	00:00:05,54
	Verstrichene Zeit	00:00:01,85

## Innersubjektfaktoren

Maß: MEASURE\_1

Arrangement	Pace	Abhängige Variable
1	1	sb1_RT
	2	snb1_RT
2	1	tb1_RT
	2	tnb1_RT
3	1	rb1_RT
	2	rnb1_RT

## Deskriptive Statistiken

	Mittelwert	Std.- Abweichung	N
sb1_RT	631,4500	90,21442	94
snb1_RT	701,8166	95,24323	94
tb1_RT	622,5043	84,40938	94
tnb1_RT	705,2834	93,13298	94
rb1_RT	352,2863	123,71735	94
rnb1_RT	655,1786	117,47460	94

### Multivariate Tests<sup>a</sup>

Effekt		Wert	F	Hypothese df	Fehler df
Arrangement	Pillai-Spur	,854	269,950 <sup>b</sup>	2,000	92,000
	Wilks-Lambda	,146	269,950 <sup>b</sup>	2,000	92,000
	Hotelling-Spur	5,868	269,950 <sup>b</sup>	2,000	92,000
	Größte charakteristische Wurzel nach Roy	5,868	269,950 <sup>b</sup>	2,000	92,000
Pace	Pillai-Spur	,922	1100,875 <sup>b</sup>	1,000	93,000
	Wilks-Lambda	,078	1100,875 <sup>b</sup>	1,000	93,000
	Hotelling-Spur	11,837	1100,875 <sup>b</sup>	1,000	93,000
	Größte charakteristische Wurzel nach Roy	11,837	1100,875 <sup>b</sup>	1,000	93,000
Arrangement * Pace	Pillai-Spur	,860	283,519 <sup>b</sup>	2,000	92,000
	Wilks-Lambda	,140	283,519 <sup>b</sup>	2,000	92,000
	Hotelling-Spur	6,163	283,519 <sup>b</sup>	2,000	92,000
	Größte charakteristische Wurzel nach Roy	6,163	283,519 <sup>b</sup>	2,000	92,000

### Multivariate Tests<sup>a</sup>

Effekt		Sig.	Partielles Eta-Quadrat	Dezent. Parameter
Arrangement	Pillai-Spur	,000	,854	539,900
	Wilks-Lambda	,000	,854	539,900
	Hotelling-Spur	,000	,854	539,900
	Größte charakteristische Wurzel nach Roy	,000	,854	539,900
Pace	Pillai-Spur	,000	,922	1100,875
	Wilks-Lambda	,000	,922	1100,875
	Hotelling-Spur	,000	,922	1100,875
	Größte charakteristische Wurzel nach Roy	,000	,922	1100,875
Arrangement * Pace	Pillai-Spur	,000	,860	567,039
	Wilks-Lambda	,000	,860	567,039
	Hotelling-Spur	,000	,860	567,039
	Größte charakteristische Wurzel nach Roy	,000	,860	567,039

## Multivariate Tests<sup>a</sup>

Effekt		Beobachtete Schärfe <sup>c</sup>
Arrangement	Pillai-Spur	1,000
	Wilks-Lambda	1,000
	Hotelling-Spur	1,000
	Größte charakteristische Wurzel nach Roy	1,000
Pace	Pillai-Spur	1,000
	Wilks-Lambda	1,000
	Hotelling-Spur	1,000
	Größte charakteristische Wurzel nach Roy	1,000
Arrangement * Pace	Pillai-Spur	1,000
	Wilks-Lambda	1,000
	Hotelling-Spur	1,000
	Größte charakteristische Wurzel nach Roy	1,000

- a. Design: Konstanter Term  
Innersubjekt-design: Arrangement + Pace + Arrangement \* Pace
- b. Exakte Statistik
- c. Unter Verwendung von Alpha = ,05 berechnet

## Mauchly-Test auf Sphärizität<sup>a</sup>

Maß: MEASURE\_1

Innersubjekteffekt	Mauchly-W	Approx. Chi-Quadrat	df	Sig.	Epsilon <sup>b</sup> Greenhouse-Geisser
Arrangement	,672	36,633	2	,000	,753
Pace	1,000	,000	0	.	1,000
Arrangement * Pace	,536	57,333	2	,000	,683

## Mauchly-Test auf Sphärizität<sup>a</sup>

Maß: MEASURE\_1

Innersubjekteffekt	Epsilon <sup>b</sup>	
	Huynh-Feldt	Untergrenze
Arrangement	,762	,500
Pace	1,000	1,000
Arrangement * Pace	,690	,500

Prüft die Nullhypothese, daß sich die Fehlerkovarianz-Matrix der orthonormalisierten transformierten abhängigen Variablen proportional zur Einheitsmatrix verhält.

a. Design: Konstanter Term

Innersubjektdesign: Arrangement + Pace + Arrangement \* Pace

b. Kann zum Korrigieren der Freiheitsgrade für die gemittelten Signifikanztests verwendet werden. In der Tabelle mit den Tests der Effekte innerhalb der Subjekte werden korrigierte Tests angezeigt.

### Tests der Innersubjekteffekte

Maß: MEASURE\_1

Quelle		Quadratsumme vom Typ III	df	Mittel der Quadrate
Arrangement	Sphärizität angenommen	3270940,595	2	1635470,298
	Greenhouse-Geisser	3270940,595	1,505	2172663,318
	Huynh-Feldt	3270940,595	1,525	2145068,015
	Untergrenze	3270940,595	1,000	3270940,595
Fehler(Arrangement)	Sphärizität angenommen	709278,173	186	3813,324
	Greenhouse-Geisser	709278,173	140,011	5065,863
	Huynh-Feldt	709278,173	141,813	5001,521
	Untergrenze	709278,173	93,000	7626,647
Pace	Sphärizität angenommen	3258208,183	1	3258208,183
	Greenhouse-Geisser	3258208,183	1,000	3258208,183
	Huynh-Feldt	3258208,183	1,000	3258208,183
	Untergrenze	3258208,183	1,000	3258208,183
Fehler(Pace)	Sphärizität angenommen	275247,672	93	2959,652
	Greenhouse-Geisser	275247,672	93,000	2959,652
	Huynh-Feldt	275247,672	93,000	2959,652
	Untergrenze	275247,672	93,000	2959,652
Arrangement * Pace	Sphärizität angenommen	1608529,731	2	804264,865
	Greenhouse-Geisser	1608529,731	1,366	1177254,493
	Huynh-Feldt	1608529,731	1,380	1165771,849
	Untergrenze	1608529,731	1,000	1608529,731
Fehler(Arrangement*Pace)	Sphärizität angenommen	313330,309	186	1684,572
	Greenhouse-Geisser	313330,309	127,070	2465,816
	Huynh-Feldt	313330,309	128,321	2441,765
	Untergrenze	313330,309	93,000	3369,143

## Tests der Innersubjekteffekte

Maß: MEASURE\_1

Quelle		F	Sig.	Partielles Eta- Quadrat
Arrangement	Sphärizität angenommen	428,883	,000	,822
	Greenhouse-Geisser	428,883	,000	,822
	Huynh-Feldt	428,883	,000	,822
	Untergrenze	428,883	,000	,822
Fehler(Arrangement)	Sphärizität angenommen			
	Greenhouse-Geisser			
	Huynh-Feldt			
	Untergrenze			
Pace	Sphärizität angenommen	1100,875	,000	,922
	Greenhouse-Geisser	1100,875	,000	,922
	Huynh-Feldt	1100,875	,000	,922
	Untergrenze	1100,875	,000	,922
Fehler(Pace)	Sphärizität angenommen			
	Greenhouse-Geisser			
	Huynh-Feldt			
	Untergrenze			
Arrangement * Pace	Sphärizität angenommen	477,430	,000	,837
	Greenhouse-Geisser	477,430	,000	,837
	Huynh-Feldt	477,430	,000	,837
	Untergrenze	477,430	,000	,837
Fehler(Arrangement*Pace)	Sphärizität angenommen			
	Greenhouse-Geisser			
	Huynh-Feldt			
	Untergrenze			



## Tests der Innersubjekteffekte

Maß: MEASURE\_1

Quelle		Dezent. Parameter	Beobachtete Schärfe <sup>a</sup>
Arrangement	Sphärizität angenommen	857,766	1,000
	Greenhouse-Geisser	645,683	1,000
	Huynh-Feldt	653,989	1,000
	Untergrenze	428,883	1,000
Fehler(Arrangement)	Sphärizität angenommen		
	Greenhouse-Geisser		
	Huynh-Feldt		
	Untergrenze		
Pace	Sphärizität angenommen	1100,875	1,000
	Greenhouse-Geisser	1100,875	1,000
	Huynh-Feldt	1100,875	1,000
	Untergrenze	1100,875	1,000
Fehler(Pace)	Sphärizität angenommen		
	Greenhouse-Geisser		
	Huynh-Feldt		
	Untergrenze		
Arrangement * Pace	Sphärizität angenommen	954,860	1,000
	Greenhouse-Geisser	652,332	1,000
	Huynh-Feldt	658,757	1,000
	Untergrenze	477,430	1,000
Fehler(Arrangement*Pace)	Sphärizität angenommen		
	Greenhouse-Geisser		
	Huynh-Feldt		
	Untergrenze		

a. Unter Verwendung von Alpha = ,05 berechnet

### Tests der Innersubjektkontraste

Maß: MEASURE\_1

Quelle	Arrangement	Pace	Quadratsumme vom Typ III	df	Mittel der Quadrate
Arrangement	Linear		2494448,604	1	2494448,604
	Quadratisch		776491,991	1	776491,991
Fehler(Arrangement)	Linear		467729,713	93	5029,352
	Quadratisch		241548,460	93	2597,295
Pace		Linear	3258208,183	1	3258208,183
Fehler(Pace)		Linear	275247,672	93	2959,652
Arrangement * Pace	Linear	Linear	1270603,216	1	1270603,216
	Quadratisch	Linear	337926,515	1	337926,515
Fehler(Arrangement*Pace)	Linear	Linear	210243,297	93	2260,681
	Quadratisch	Linear	103087,012	93	1108,462

### Tests der Innersubjektkontraste

Maß: MEASURE\_1

Quelle	Arrangement	Pace	F	Sig.	Partielles Eta-Quadrat
Arrangement	Linear		495,978	,000	,842
	Quadratisch		298,962	,000	,763
Fehler(Arrangement)	Linear				
	Quadratisch				
Pace		Linear	1100,875	,000	,922
Fehler(Pace)		Linear			
Arrangement * Pace	Linear	Linear	562,045	,000	,858
	Quadratisch	Linear	304,861	,000	,766
Fehler(Arrangement*Pace)	Linear	Linear			
	Quadratisch	Linear			

### Tests der Innersubjektkontraste

Maß: MEASURE\_1

Quelle	Arrangement	Pace	Dezent. Parameter	Beobachtete Schärfe <sup>a</sup>
Arrangement	Linear		495,978	1,000
	Quadratisch		298,962	1,000
Fehler(Arrangement)	Linear			
	Quadratisch			
Pace		Linear	1100,875	1,000
Fehler(Pace)		Linear		
Arrangement * Pace	Linear	Linear	562,045	1,000
	Quadratisch	Linear	304,861	1,000
Fehler(Arrangement*Pace)	Linear	Linear		
	Quadratisch	Linear		

a. Unter Verwendung von Alpha = ,05 berechnet

### Tests der Zwischensubjekteffekte

Maß: MEASURE\_1

Transformierte Variable: Mittel

Quelle	Quadratsumme vom Typ III	df	Mittel der Quadrate	F	Sig.
Konstanter Term	210842513,0	1	210842513,0	4378,011	,000
Fehler	4478827,240	93	48159,433		

### Tests der Zwischensubjekteffekte

Maß: MEASURE\_1

Transformierte Variable: Mittel

Quelle	Partielles Eta- Quadrat	Dezent. Parameter	Beobachtete Schärfe <sup>a</sup>
Konstanter Term	,979	4378,011	1,000
Fehler			

a. Unter Verwendung von Alpha = ,05 berechnet

### Geschätzte Randmittel

## 1. Gesamtmittelwert

Maß: MEASURE\_1

Mittelwert	Standard Fehler	95%-Konfidenzintervall	
		Untergrenze	Obergrenze
611,420	9,241	593,070	629,770

## 2. Arrangement

### Schätzer

Maß: MEASURE\_1

Arrangement	Mittelwert	Standard Fehler	95%-Konfidenzintervall	
			Untergrenze	Obergrenze
1	666,633	9,086	648,591	684,676
2	663,894	8,773	646,473	681,315
3	503,732	11,714	480,470	526,995

### Paarweise Vergleiche

Maß: MEASURE\_1

(I)Arrangement	(J)Arrangement	Mittlere Differenz (I-J)	Standard Fehler	Sig. <sup>b</sup>	95% Konfidenzintervall Untergrenze
1	2	2,739	4,168	1,000	-7,421
	3	162,901 <sup>*</sup>	7,315	,000	145,067
2	1	-2,739	4,168	1,000	-12,900
	3	160,161 <sup>*</sup>	7,129	,000	142,779
3	1	-162,901 <sup>*</sup>	7,315	,000	-180,734
	2	-160,161 <sup>*</sup>	7,129	,000	-177,543

### Paarweise Vergleiche

Maß: MEASURE\_1

(I)Arrangement	(J)Arrangement	95% Konfidenzintervall Obergrenze
1	2	12,900
	3	180,734
2	1	7,421
	3	177,543
3	1	-145,067
	2	-142,779

Basiert auf den geschätzten Randmitteln

\*. Die mittlere Differenz ist auf dem ,05-Niveau signifikant.

b. Anpassung für Mehrfachvergleiche: Bonferroni.

### Multivariate Tests

	Wert	F	Hypothese df	Fehler df	Sig.
Pillai-Spur	,854	269,950 <sup>a</sup>	2,000	92,000	,000
Wilks-Lambda	,146	269,950 <sup>a</sup>	2,000	92,000	,000
Hotelling-Spur	5,868	269,950 <sup>a</sup>	2,000	92,000	,000
Größte charakteristische Wurzel nach Roy	5,868	269,950 <sup>a</sup>	2,000	92,000	,000

### Multivariate Tests

	Partielles Eta-Quadrat	Dezent. Parameter	Beobachtete Schärfe <sup>b</sup>
Pillai-Spur	,854	539,900	1,000
Wilks-Lambda	,854	539,900	1,000
Hotelling-Spur	,854	539,900	1,000
Größte charakteristische Wurzel nach Roy	,854	539,900	1,000

Jedes F prüft den multivariaten Effekt von Arrangement. Diese Tests basieren auf den linear unabhängigen paarweisen Vergleichen zwischen den geschätzten Randmitteln.

a. Exakte Statistik

b. Unter Verwendung von Alpha = ,05 berechnet

## 3. Pace

### Schätzer

Maß: MEASURE\_1

Pace	Mittelwert	Standard Fehler	95%-Konfidenzintervall	
			Untergrenze	Obergrenze
1	535,414	9,269	517,008	553,819
2	687,426	9,766	668,034	706,819

## Paarweise Vergleiche

Maß: MEASURE\_1

(I)Pace	(J)Pace	Mittlere Differenz (I-J)	Standard Fehler	Sig. <sup>b</sup>	95% Konfidenzintervall für die Differenz <sup>b</sup>	
					Untergrenze	Obergrenze
1	2	-152,013 <sup>*</sup>	4,582	,000	-161,111	-142,915
2	1	152,013 <sup>*</sup>	4,582	,000	142,915	161,111

Basiert auf den geschätzten Randmitteln

\*. Die mittlere Differenz ist auf dem ,05-Niveau signifikant.

b. Anpassung für Mehrfachvergleiche: Bonferroni.

## Multivariate Tests

	Wert	F	Hypothese df	Fehler df	Sig.
Pillai-Spur	,922	1100,875 <sup>a</sup>	1,000	93,000	,000
Wilks-Lambda	,078	1100,875 <sup>a</sup>	1,000	93,000	,000
Hotelling-Spur	11,837	1100,875 <sup>a</sup>	1,000	93,000	,000
Größte charakteristische Wurzel nach Roy	11,837	1100,875 <sup>a</sup>	1,000	93,000	,000

## Multivariate Tests

	Partielles Eta-Quadrat	Dezent. Parameter	Beobachtete Schärfe <sup>b</sup>
Pillai-Spur	,922	1100,875	1,000
Wilks-Lambda	,922	1100,875	1,000
Hotelling-Spur	,922	1100,875	1,000
Größte charakteristische Wurzel nach Roy	,922	1100,875	1,000

Jedes F prüft den multivariaten Effekt von Pace. Diese Tests basieren auf den linear unabhängigen paarweisen Vergleichen zwischen den geschätzten Randmitteln.

a. Exakte Statistik

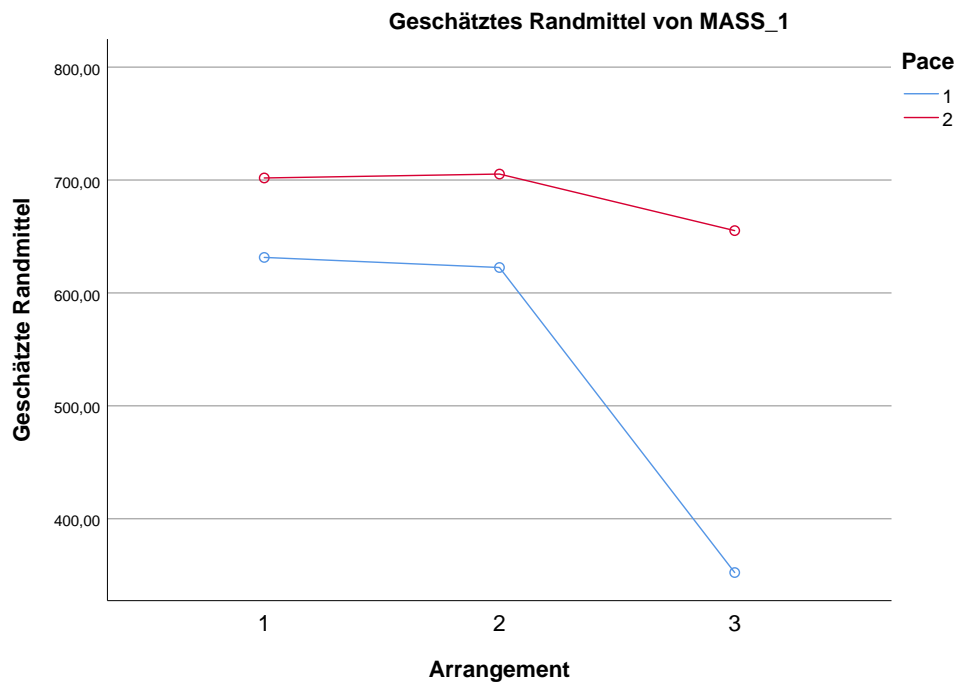
b. Unter Verwendung von Alpha = ,05 berechnet

#### 4. Arrangement \* Pace

Maß: MEASURE\_1

Arrangement	Pace	Mittelwert	Standard Fehler	95%-Konfidenzintervall	
				Untergrenze	Obergrenze
1	1	631,450	9,305	612,972	649,928
	2	701,817	9,824	682,309	721,324
2	1	622,504	8,706	605,216	639,793
	2	705,283	9,606	686,208	724,359
3	1	352,286	12,760	326,947	377,626
	2	655,179	12,117	631,117	679,240

#### Profildigramm



\*\*\* Repeated-measures ANOVA (stimulus arrangement + pace) for error rates in the modified d2.

```
GLM sb1_ErrPerc snb1_ErrPerc tbn1_ErrPerc rbn1_ErrPerc rnb1_ErrPerc
  /WSFACTOR=Arrangement 3 Polynomial Pace 2 Polynomial
  /METHOD=SSTYPE(3)
  /PLOT=PROFILE(Arrangement*Pace) TYPE=LINE ERRORBAR=NO MEANREFERENCE=NO YAXIS=AUTO
```

```

/EMMEANS=TABLES(OVERALL)
/EMMEANS=TABLES(Arrangement) COMPARE ADJ(BONFERRONI)
/EMMEANS=TABLES(Pace) COMPARE ADJ(BONFERRONI)
/EMMEANS=TABLES(Arrangement*Pace)
/PRINT=DESCRIPTIVE ETASQ OPOWER
/CRITERIA=ALPHA(.05)
/WSDESIGN=Arrangement Pace Arrangement*Pace.

```

## Allgemeines Lineares Modell

### Anmerkungen

Ausgabe erstellt		02-MAR-2019 10:14:13
Kommentare		
Eingabe	Daten	C: \Users\Iris\Desktop\Resubmission_EJPA\ESM_PreviewBenefit_DATA.sav
	Aktiver Datensatz	DataSet1
	Filter	<keine>
	Gewichtung	<keine>
	Aufgeteilte Datei	<keine>
	Anzahl der Zeilen in der Arbeitsdatei	100
Behandlung fehlender Werte	Definition für "fehlend"	Benutzerdefinierte fehlende Werte werden als fehlend behandelt.
	Verwendete Fälle	Die Statistik basiert auf allen Fällen mit gültigen Daten für alle Variablen im Modell.



## Anmerkungen

Syntax	<pre> GLM sb1_ErrPerc snb1_ErrPerc tb1_ErrPerc tnb1_ErrPerc rb1_ErrPerc rnb1_ErrPerc  /WSFACTOR=Arrangeme nt 3 Polynomial Pace 2 Polynomial /METHOD=SSTYPE(3) /PLOT=PROFILE (Arrangement*Pace) TYPE=LINE ERRORBAR=NO MEANREFERENCE=NO YAXIS=AUTO /EMMEANS=TABLES (OVERALL) /EMMEANS=TABLES (Arrangement) COMPARE ADJ(BONFERRONI) /EMMEANS=TABLES (Pace) COMPARE ADJ (BONFERRONI) /EMMEANS=TABLES (Arrangement*Pace) /PRINT=DESCRIPTIVE ETASQ OPOWER /CRITERIA=ALPHA(.05)  /WSDESIGN=Arrangemen t Pace Arrangement*Pace. </pre>	
Ressourcen	Prozessorzeit	00:00:00,69
	Verstrichene Zeit	00:00:00,38

### Innersubjektfaktoren

Maß: MEASURE\_1

Arrangement	Pace	Abhängige Variable
1	1	sb1_ErrPerc
	2	snb1_ErrPerc
2	1	tb1_ErrPerc
	2	tnb1_ErrPerc
3	1	rb1_ErrPerc
	2	rnb1_ErrPerc

## Deskriptive Statistiken

	Mittelwert	Std.- Abweichung	N
sb1_ErrPerc	4,5612	3,40337	94
snb1_ErrPerc	4,1090	3,05429	94
tb1_ErrPerc	4,7872	3,28240	94
tnb1_ErrPerc	3,5106	3,13387	94
rb1_ErrPerc	2,6862	2,49298	94
rnb1_ErrPerc	4,8404	3,69918	94

## Multivariate Tests<sup>a</sup>

Effekt		Wert	F	Hypothese df	Fehler df
Arrangement	Pillai-Spur	,044	2,130 <sup>b</sup>	2,000	92,000
	Wilks-Lambda	,956	2,130 <sup>b</sup>	2,000	92,000
	Hotelling-Spur	,046	2,130 <sup>b</sup>	2,000	92,000
	Größte charakteristische Wurzel nach Roy	,046	2,130 <sup>b</sup>	2,000	92,000
Pace	Pillai-Spur	,004	,402 <sup>b</sup>	1,000	93,000
	Wilks-Lambda	,996	,402 <sup>b</sup>	1,000	93,000
	Hotelling-Spur	,004	,402 <sup>b</sup>	1,000	93,000
	Größte charakteristische Wurzel nach Roy	,004	,402 <sup>b</sup>	1,000	93,000
Arrangement * Pace	Pillai-Spur	,371	27,109 <sup>b</sup>	2,000	92,000
	Wilks-Lambda	,629	27,109 <sup>b</sup>	2,000	92,000
	Hotelling-Spur	,589	27,109 <sup>b</sup>	2,000	92,000
	Größte charakteristische Wurzel nach Roy	,589	27,109 <sup>b</sup>	2,000	92,000

### Multivariate Tests<sup>a</sup>

Effekt		Sig.	Partielles Eta- Quadrat	Dezentr. Parameter
Arrangement	Pillai-Spur	,125	,044	4,260
	Wilks-Lambda	,125	,044	4,260
	Hotelling-Spur	,125	,044	4,260
	Größte charakteristische Wurzel nach Roy	,125	,044	4,260
Pace	Pillai-Spur	,528	,004	,402
	Wilks-Lambda	,528	,004	,402
	Hotelling-Spur	,528	,004	,402
	Größte charakteristische Wurzel nach Roy	,528	,004	,402
Arrangement * Pace	Pillai-Spur	,000	,371	54,218
	Wilks-Lambda	,000	,371	54,218
	Hotelling-Spur	,000	,371	54,218
	Größte charakteristische Wurzel nach Roy	,000	,371	54,218

### Multivariate Tests<sup>a</sup>

Effekt		Beobachtete Schärfe <sup>c</sup>
Arrangement	Pillai-Spur	,427
	Wilks-Lambda	,427
	Hotelling-Spur	,427
	Größte charakteristische Wurzel nach Roy	,427
Pace	Pillai-Spur	,096
	Wilks-Lambda	,096
	Hotelling-Spur	,096
	Größte charakteristische Wurzel nach Roy	,096
Arrangement * Pace	Pillai-Spur	1,000
	Wilks-Lambda	1,000
	Hotelling-Spur	1,000
	Größte charakteristische Wurzel nach Roy	1,000

- a. Design: Konstanter Term  
Innersubjektdesign: Arrangement + Pace + Arrangement \* Pace
- b. Exakte Statistik
- c. Unter Verwendung von Alpha = ,05 berechnet

### Mauchly-Test auf Sphärizität<sup>a</sup>

Maß: MEASURE\_1

Innersubjekteffekt	Mauchly-W	Approx. Chi- Quadrat	df	Sig.	Epsilon <sup>b</sup> Greenhouse- Geisser
Arrangement	,973	2,536	2	,281	,974
Pace	1,000	,000	0	.	1,000
Arrangement * Pace	,983	1,567	2	,457	,983

### Mauchly-Test auf Sphärizität<sup>a</sup>

Maß: MEASURE\_1

Innersubjekteffekt	Epsilon <sup>b</sup>	
	Huynh-Feldt	Untergrenze
Arrangement	,994	,500
Pace	1,000	1,000
Arrangement * Pace	1,000	,500

Prüft die Nullhypothese, daß sich die Fehlerkovarianz-Matrix der orthonormalisierten transformierten abhängigen Variablen proportional zur Einheitsmatrix verhält.

a. Design: Konstanter Term

Innersubjekt-design: Arrangement + Pace + Arrangement \* Pace

b. Kann zum Korrigieren der Freiheitsgrade für die gemittelten Signifikanztests verwendet werden. In der Tabelle mit den Tests der Effekte innerhalb der Subjekte werden korrigierte Tests angezeigt.

## Tests der Innersubjekteffekte

Maß: MEASURE\_1

Quelle		Quadratsumme vom Typ III	df	Mittel der Quadrate
Arrangement	Sphärizität angenommen	31,981	2	15,991
	Greenhouse-Geisser	31,981	1,947	16,425
	Huynh-Feldt	31,981	1,988	16,086
	Untergrenze	31,981	1,000	31,981
Fehler(Arrangement)	Sphärizität angenommen	1195,623	186	6,428
	Greenhouse-Geisser	1195,623	181,076	6,603
	Huynh-Feldt	1195,623	184,894	6,467
	Untergrenze	1195,623	93,000	12,856
Pace	Sphärizität angenommen	2,837	1	2,837
	Greenhouse-Geisser	2,837	1,000	2,837
	Huynh-Feldt	2,837	1,000	2,837
	Untergrenze	2,837	1,000	2,837
Fehler(Pace)	Sphärizität angenommen	657,059	93	7,065
	Greenhouse-Geisser	657,059	93,000	7,065
	Huynh-Feldt	657,059	93,000	7,065
	Untergrenze	657,059	93,000	7,065
Arrangement * Pace	Sphärizität angenommen	301,485	2	150,742
	Greenhouse-Geisser	301,485	1,967	153,289
	Huynh-Feldt	301,485	2,000	150,742
	Untergrenze	301,485	1,000	301,485
Fehler(Arrangement*Pace)	Sphärizität angenommen	907,369	186	4,878
	Greenhouse-Geisser	907,369	182,911	4,961
	Huynh-Feldt	907,369	186,000	4,878
	Untergrenze	907,369	93,000	9,757

## Tests der Innersubjekteffekte

Maß: MEASURE\_1

Quelle		F	Sig.	Partielles Eta-Quadrat
Arrangement	Sphärizität angenommen	2,488	,086	,026
	Greenhouse-Geisser	2,488	,087	,026
	Huynh-Feldt	2,488	,086	,026
	Untergrenze	2,488	,118	,026
Fehler(Arrangement)	Sphärizität angenommen			
	Greenhouse-Geisser			
	Huynh-Feldt			
	Untergrenze			
Pace	Sphärizität angenommen	,402	,528	,004
	Greenhouse-Geisser	,402	,528	,004
	Huynh-Feldt	,402	,528	,004
	Untergrenze	,402	,528	,004
Fehler(Pace)	Sphärizität angenommen			
	Greenhouse-Geisser			
	Huynh-Feldt			
	Untergrenze			
Arrangement * Pace	Sphärizität angenommen	30,900	,000	,249
	Greenhouse-Geisser	30,900	,000	,249
	Huynh-Feldt	30,900	,000	,249
	Untergrenze	30,900	,000	,249
Fehler(Arrangement*Pace)	Sphärizität angenommen			
	Greenhouse-Geisser			
	Huynh-Feldt			
	Untergrenze			

## Tests der Innersubjekteffekte

Maß: MEASURE\_1

Quelle		Dezentr. Parameter	Beobachtete Schärfe <sup>a</sup>
Arrangement	Sphärizität angenommen	4,975	,495
	Greenhouse-Geisser	4,844	,488
	Huynh-Feldt	4,946	,493
	Untergrenze	2,488	,345
Fehler(Arrangement)	Sphärizität angenommen		
	Greenhouse-Geisser		
	Huynh-Feldt		
	Untergrenze		
Pace	Sphärizität angenommen	,402	,096
	Greenhouse-Geisser	,402	,096
	Huynh-Feldt	,402	,096
	Untergrenze	,402	,096
Fehler(Pace)	Sphärizität angenommen		
	Greenhouse-Geisser		
	Huynh-Feldt		
	Untergrenze		
Arrangement * Pace	Sphärizität angenommen	61,801	1,000
	Greenhouse-Geisser	60,774	1,000
	Huynh-Feldt	61,801	1,000
	Untergrenze	30,900	1,000
Fehler(Arrangement*Pace)	Sphärizität angenommen		
	Greenhouse-Geisser		
	Huynh-Feldt		
	Untergrenze		

a. Unter Verwendung von Alpha = ,05 berechnet

### Tests der Innersubjektkontraste

Maß: MEASURE\_1

Quelle	Arrangement	Pace	Quadratsumme vom Typ III	df	Mittel der Quadrate
Arrangement	Linear		30,735	1	30,735
	Quadratisch		1,247	1	1,247
Fehler(Arrangement)	Linear		695,828	93	7,482
	Quadratisch		499,795	93	5,374
Pace		Linear	2,837	1	2,837
Fehler(Pace)		Linear	657,059	93	7,065
Arrangement * Pace	Linear	Linear	159,641	1	159,641
	Quadratisch	Linear	141,844	1	141,844
Fehler(Arrangement*Pace)	Linear	Linear	466,922	93	5,021
	Quadratisch	Linear	440,448	93	4,736

### Tests der Innersubjektkontraste

Maß: MEASURE\_1

Quelle	Arrangement	Pace	F	Sig.	Partielles Eta-Quadrat
Arrangement	Linear		4,108	,046	,042
	Quadratisch		,232	,631	,002
Fehler(Arrangement)	Linear				
	Quadratisch				
Pace		Linear	,402	,528	,004
Fehler(Pace)		Linear			
Arrangement * Pace	Linear	Linear	31,797	,000	,255
	Quadratisch	Linear	29,950	,000	,244
Fehler(Arrangement*Pace)	Linear	Linear			
	Quadratisch	Linear			



### Tests der Innersubjektkontraste

Maß: MEASURE\_1

Quelle	Arrangement	Pace	Dezent. Parameter	Beobachtete Schärfe <sup>a</sup>
Arrangement	Linear		4,108	,518
	Quadratisch		,232	,076
Fehler(Arrangement)	Linear			
	Quadratisch			
Pace		Linear	,402	,096
Fehler(Pace)		Linear		
Arrangement * Pace	Linear	Linear	31,797	1,000
	Quadratisch	Linear	29,950	1,000
Fehler(Arrangement*Pace)	Linear	Linear		
	Quadratisch	Linear		

a. Unter Verwendung von Alpha = ,05 berechnet

### Tests der Zwischensubjekteffekte

Maß: MEASURE\_1

Transformierte Variable: Mittel

Quelle	Quadratsumme vom Typ III	df	Mittel der Quadrate	F	Sig.
Konstanter Term	9399,834	1	9399,834	296,265	,000
Fehler	2950,687	93	31,728		

### Tests der Zwischensubjekteffekte

Maß: MEASURE\_1

Transformierte Variable: Mittel

Quelle	Partielles Eta- Quadrat	Dezent. Parameter	Beobachtete Schärfe <sup>a</sup>
Konstanter Term	,761	296,265	1,000
Fehler			

a. Unter Verwendung von Alpha = ,05 berechnet

### Geschätzte Randmittel

## 1. Gesamtmittelwert

Maß: MEASURE\_1

Mittelwert	Standard Fehler	95%-Konfidenzintervall	
		Untergrenze	Obergrenze
4,082	,237	3,611	4,553

## 2. Arrangement

### Schätzer

Maß: MEASURE\_1

Arrangement	Mittelwert	Standard Fehler	95%-Konfidenzintervall	
			Untergrenze	Obergrenze
1	4,335	,291	3,757	4,913
2	4,149	,287	3,579	4,719
3	3,763	,265	3,238	4,289

### Paarweise Vergleiche

Maß: MEASURE\_1

(I)Arrangement	(J)Arrangement	Mittlere Differenz (I-J)	Standard Fehler	Sig. <sup>a</sup>	95% Konfidenzintervall Untergrenze
1	2	,186	,248	1,000	-,420
	3	,572	,282	,137	-,116
2	1	-,186	,248	1,000	-,792
	3	,386	,253	,391	-,230
3	1	-,572	,282	,137	-1,260
	2	-,386	,253	,391	-1,002

### Paarweise Vergleiche

Maß: MEASURE\_1

(I)Arrangement	(J)Arrangement	95% Konfidenzintervall
		Obergrenze
1	2	,792
	3	1,260
2	1	,420
	3	1,002
3	1	,116
	2	,230

Basiert auf den geschätzten Randmitteln

a. Anpassung für Mehrfachvergleiche: Bonferroni.

### Multivariate Tests

	Wert	F	Hypothese df	Fehler df	Sig.
Pillai-Spur	,044	2,130 <sup>a</sup>	2,000	92,000	,125
Wilks-Lambda	,956	2,130 <sup>a</sup>	2,000	92,000	,125
Hotelling-Spur	,046	2,130 <sup>a</sup>	2,000	92,000	,125
Größte charakteristische Wurzel nach Roy	,046	2,130 <sup>a</sup>	2,000	92,000	,125

### Multivariate Tests

	Partielles Eta-Quadrat	Dezent. Parameter	Beobachtete Schärfe <sup>b</sup>
Pillai-Spur	,044	4,260	,427
Wilks-Lambda	,044	4,260	,427
Hotelling-Spur	,044	4,260	,427
Größte charakteristische Wurzel nach Roy	,044	4,260	,427

Jedes F prüft den multivariaten Effekt von Arrangement. Diese Tests basieren auf den linear unabhängigen paarweisen Vergleichen zwischen den geschätzten Randmitteln.

- a. Exakte Statistik
- b. Unter Verwendung von Alpha = ,05 berechnet

## 3. Pace

### Schätzer

Maß: MEASURE\_1

Pace	Mittelwert	Standard Fehler	95%-Konfidenzintervall	
			Untergrenze	Obergrenze
1	4,012	,249	3,516	4,507
2	4,153	,275	3,608	4,699

### Paarweise Vergleiche

Maß: MEASURE\_1

(I)Pace	(J)Pace	Mittlere Differenz (I-J)	Standard Fehler	Sig. <sup>a</sup>	95% Konfidenzintervall für die Differenz <sup>a</sup>	
					Untergrenze	Obergrenze
1	2	-,142	,224	,528	-,586	,303
2	1	,142	,224	,528	-,303	,586

Basiert auf den geschätzten Randmitteln

- a. Anpassung für Mehrfachvergleiche: Bonferroni.

### Multivariate Tests

	Wert	F	Hypothese df	Fehler df	Sig.
Pillai-Spur	,004	,402 <sup>a</sup>	1,000	93,000	,528
Wilks-Lambda	,996	,402 <sup>a</sup>	1,000	93,000	,528
Hotelling-Spur	,004	,402 <sup>a</sup>	1,000	93,000	,528
Größte charakteristische Wurzel nach Roy	,004	,402 <sup>a</sup>	1,000	93,000	,528

### Multivariate Tests

	Partielles Eta-Quadrat	Dezent. Parameter	Beobachtete Schärfe <sup>b</sup>
Pillai-Spur	,004	,402	,096
Wilks-Lambda	,004	,402	,096
Hotelling-Spur	,004	,402	,096
Größte charakteristische Wurzel nach Roy	,004	,402	,096

Jedes F prüft den multivariaten Effekt von Pace. Diese Tests basieren auf den linear unabhängigen paarweisen Vergleichen zwischen den geschätzten Randmitteln.

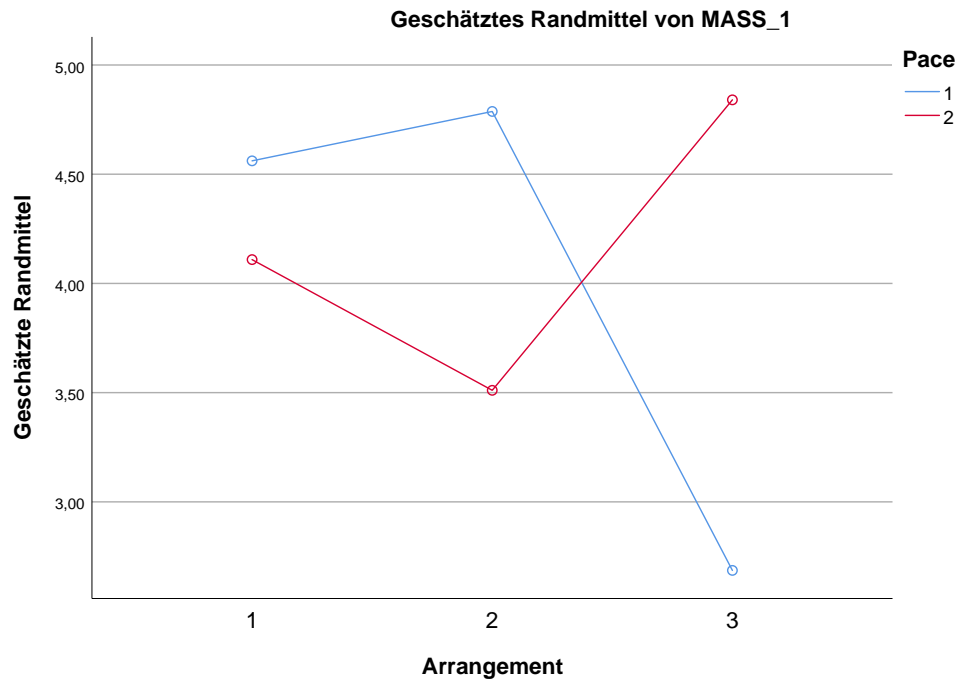
- a. Exakte Statistik
- b. Unter Verwendung von Alpha = ,05 berechnet

### 4. Arrangement \* Pace

Maß: MEASURE\_1

Arrangement	Pace	Mittelwert	Standard Fehler	95%-Konfidenzintervall	
				Untergrenze	Obergrenze
1	1	4,561	,351	3,864	5,258
	2	4,109	,315	3,483	4,735
2	1	4,787	,339	4,115	5,460
	2	3,511	,323	2,869	4,153
3	1	2,686	,257	2,176	3,197
	2	4,840	,382	4,083	5,598

### Profildigramm



\*\*\*Compute indices.

```
COMPUTE FOC_1_Descr= t1_RT - s1_RT.
EXECUTE.
```

```
COMPUTE PRE_1_Descr=r1_RT - t1_RT.
EXECUTE.
```

```
COMPUTE FOC_1=lg_s1_RT - lg_t1_RT.
EXECUTE.
```

```
COMPUTE PRE_1=lg_t1_RT - lg_r1_RT.
EXECUTE.
```

\*\*\*Descriptives for indices and sustained attention tests.

```
DESCRIPTIVES VARIABLES=FOC_1_Descr PRE_1_Descr d2_KL REV BIS_UW BIS_KW BIS_
TG
  /STATISTICS=MEAN STDDEV MIN MAX.
```

## Deskriptive Statistik

## Anmerkungen

Ausgabe erstellt		02-MAR-2019 10:14:14
Kommentare		
Eingabe	Daten	C: \Users\Iris\Desktop\Resubmission_EJPA\ESM_PreviewBenefit_DATA.sav
	Aktiver Datensatz	DataSet1
	Filter	<keine>
	Gewichtung	<keine>
	Aufgeteilte Datei	<keine>
	Anzahl der Zeilen in der Arbeitsdatei	100
Behandlung fehlender Werte	Definition von fehlenden Werten	Benutzerdefinierte fehlende Werte werden als Fehlend behandelt.
	Verwendete Fälle	Alle nicht fehlenden Daten werden verwendet.
Syntax		DESCRIPTIVES VARIABLES=FOC_1_Descr PRE_1_Descr d2_KL REV BIS_UW BIS_KW BIS_TG /STATISTICS=MEAN STDDEV MIN MAX.
Ressourcen	Prozessorzeit	00:00:00,02
	Verstrichene Zeit	00:00:00,02

## Deskriptive Statistik

	N	Minimum	Maximum	Mittelwert	Std.- Abweichung
FOC_1_Descr	97	-110,77	105,41	-4,1713	41,31362
PRE_1_Descr	94	-306,32	52,65	-160,1614	69,12274
d2_KL	100	130,00	292,00	220,0600	33,90147
REV	100	222,00	570,00	390,0300	74,02367
BIS_UW	100	18,00	57,00	34,7500	8,69735
BIS_KW	100	9,00	41,00	25,1700	5,70850
BIS_TG	100	7,00	21,00	14,9000	2,52463
Gültige Werte (Listenweise)	94				

\*\*\*Retest reliability for indices.

CORRELATIONS

```

/VARIABLES=FOC_1 FOC_2 PRE_1 PRE_2
/PRINT=TWOTAIL NOSIG
/MISSING=PAIRWISE.
    
```

## Korrelationen

### Anmerkungen

Ausgabe erstellt		02-MAR-2019 10:14:14
Kommentare		
Eingabe	Daten	C: \Users\Iris\Desktop\Resub mission_EJPA\ESM_Previ ewBenefit_DATA.sav
	Aktiver Datensatz	DataSet1
	Filter	<keine>
	Gewichtung	<keine>
	Aufgeteilte Datei	<keine>
	Anzahl der Zeilen in der Arbeitsdatei	100
Behandlung fehlender Werte	Definition von Fehlend	Benutzerdefinierte fehlende Werte werden als fehlend behandelt.
	Verwendete Fälle	Die Statistik für jedes Variablenpaar basiert auf allen Fällen, die gültige Daten für dieses Paar aufweisen.
Syntax		CORRELATIONS /VARIABLES=FOC_1 FOC_2 PRE_1 PRE_2 /PRINT=TWOTAIL NOSIG /MISSING=PAIRWISE.
Ressourcen	Prozessorzeit	00:00:00,16
	Verstrichene Zeit	00:00:00,17

## Korrelationen

		FOC_1	FOC_2	PRE_1	PRE_2
FOC_1	Korrelation nach Pearson	1	,238*	-,182	-,145
	Signifikanz (2-seitig)		,019	,079	,163
	N	97	97	94	94
FOC_2	Korrelation nach Pearson	,238*	1	-,009	-,033
	Signifikanz (2-seitig)	,019		,933	,750
	N	97	100	94	97
PRE_1	Korrelation nach Pearson	-,182	-,009	1	,812**
	Signifikanz (2-seitig)	,079	,933		,000
	N	94	94	94	94
PRE_2	Korrelation nach Pearson	-,145	-,033	,812**	1
	Signifikanz (2-seitig)	,163	,750	,000	
	N	94	97	94	97

\*. Die Korrelation ist auf dem Niveau von 0,05 (2-seitig) signifikant.

\*\*.. Die Korrelation ist auf dem Niveau von 0,01 (2-seitig) signifikant.

\*\*\*Correlations of indices and sustained attention tests.

### CORRELATIONS

```

/VARIABLES=FOC_1 PRE_1 d2_KL REV BIS_Factor BIS_UW BIS_KW BIS_TG
/PRINT=TWOTAIL NOSIG
/MISSING=PAIRWISE.

```

## Korrelationen



## Anmerkungen

Ausgabe erstellt		02-MAR-2019 10:14:15
Kommentare		
Eingabe	Daten	C: \Users\Iris\Desktop\Resub mission_EJPA\ESM_Previ ewBenefit_DATA.sav
	Aktiver Datensatz	DataSet1
	Filter	<keine>
	Gewichtung	<keine>
	Aufgeteilte Datei	<keine>
	Anzahl der Zeilen in der Arbeitsdatei	100
Behandlung fehlender Werte	Definition von Fehlend	Benutzerdefinierte fehlende Werte werden als fehlend behandelt.
	Verwendete Fälle	Die Statistik für jedes Variablenpaar basiert auf allen Fällen, die gültige Daten für dieses Paar aufweisen.
Syntax	CORRELATIONS /VARIABLES=FOC_1 PRE_1 d2_KL REV BIS_Factor BIS_UW BIS_KW BIS_TG /PRINT=TWOTAIL NOSIG /MISSING=PAIRWISE.	
Ressourcen	Prozessorzeit	00:00:00,30
	Verstrichene Zeit	00:00:00,31

### Korrelationen

		FOC_1	PRE_1	d2_KL	REV	BIS_Factor
FOC_1	Korrelation nach Pearson	1	-,182	-,122	-,106	-,054
	Signifikanz (2-seitig)		,079	,233	,302	,598
	N	97	94	97	97	97
PRE_1	Korrelation nach Pearson	-,182	1	,504**	,352**	,264*
	Signifikanz (2-seitig)	,079		,000	,001	,010
	N	94	94	94	94	94
d2_KL	Korrelation nach Pearson	-,122	,504**	1	,571**	,442**
	Signifikanz (2-seitig)	,233	,000		,000	,000
	N	97	94	100	100	100
REV	Korrelation nach Pearson	-,106	,352**	,571**	1	,656**
	Signifikanz (2-seitig)	,302	,001	,000		,000
	N	97	94	100	100	100
BIS_Factor	Korrelation nach Pearson	-,054	,264*	,442**	,656**	1
	Signifikanz (2-seitig)	,598	,010	,000	,000	
	N	97	94	100	100	100
BIS_UW	Korrelation nach Pearson	,002	,117	,406**	,574**	,821**
	Signifikanz (2-seitig)	,981	,262	,000	,000	,000
	N	97	94	100	100	100
BIS_KW	Korrelation nach Pearson	-,129	,240*	,411**	,563**	,881**
	Signifikanz (2-seitig)	,209	,020	,000	,000	,000
	N	97	94	100	100	100
BIS_TG	Korrelation nach Pearson	,005	,284**	,258**	,471**	,751**
	Signifikanz (2-seitig)	,965	,006	,009	,000	,000
	N	97	94	100	100	100

### Korrelationen

		BIS_UW	BIS_KW	BIS_TG
FOC_1	Korrelation nach Pearson	,002	-,129	,005
	Signifikanz (2-seitig)	,981	,209	,965
	N	97	97	97
PRE_1	Korrelation nach Pearson	,117	,240*	,284**
	Signifikanz (2-seitig)	,262	,020	,006
	N	94	94	94
d2_KL	Korrelation nach Pearson	,406**	,411**	,258**
	Signifikanz (2-seitig)	,000	,000	,009
	N	100	100	100
REV	Korrelation nach Pearson	,574**	,563**	,471**
	Signifikanz (2-seitig)	,000	,000	,000
	N	100	100	100
BIS_Factor	Korrelation nach Pearson	,821**	,881**	,751**
	Signifikanz (2-seitig)	,000	,000	,000
	N	100	100	100
BIS_UW	Korrelation nach Pearson	1	,621**	,380**
	Signifikanz (2-seitig)		,000	,000
	N	100	100	100
BIS_KW	Korrelation nach Pearson	,621**	1	,509**
	Signifikanz (2-seitig)	,000		,000
	N	100	100	100
BIS_TG	Korrelation nach Pearson	,380**	,509**	1
	Signifikanz (2-seitig)	,000	,000	
	N	100	100	100

\*\* . Die Korrelation ist auf dem Niveau von 0,01 (2-seitig) signifikant.

\* . Die Korrelation ist auf dem Niveau von 0,05 (2-seitig) signifikant.